

GAUSS DIAGRAMS: REALIZATIONS AND CONSTRUCTION OF MEANDERS (IN RUSSIAN)

Andrey Grinblat * and Viktor Lopatkin†

АННОТАЦИЯ. The problem of which Gauss diagram can be realized by plane curves is an old one and has been solved in several ways. In this paper, we present a direct approach to this problem. We show that a needed conditions for realizability of a Gauss diagram can be interpreted as follows “the number of exits = the number of entrances” and the sufficient condition is based on Jordan curve Theorem. We give a matrix approach of realization of Gauss diagrams and then we present an algorithm to construct meanders

Mathematics Subject Classifications: 57M25, 14H50.

Key words: Gauss diagrams; Gauss code; realizability; plane curves.

1. ОСНОВНЫЕ ПОНЯТИЯ И КОНСТРУКЦИИ

1.1. Диаграммы Гаусса. A generic immersion of a circle to a plane is characterized by its Gauss diagram.

Определение 1.1. *The Gauss diagram* is the immersing circle with the preimages of each double point connected with a chord.

Определение 1.2. Виртуальная плоская иммерсионная кривая – это плоская кривая в которой есть два типа точек самопересечения: виртуальные (изображаемые маленькими окружностями) и реальные (обозначаемые маленьким диском).

Лемма 1.1. *Любая Гауссова диаграмма реализуется плоской виртуальной иммерсионной кривой.*

Доказательство. Действительно, рассмотрим в \mathbb{R}^2 движущуюся точку. На её траектории начнём отмечать будущие точки самопересечения в том порядке, в котором они встречаются на данной Гауссовой диаграмме. Если должна появиться точка самопересечения, соответствующая уже отмеченной ранее точке A траектории, то направим траекторию к точке A и пересечём в ней траекторию трансверсально. В результате

*expandrey@mail.ru

†wickktor@gmail.com (please use this e-mail for contacting.)

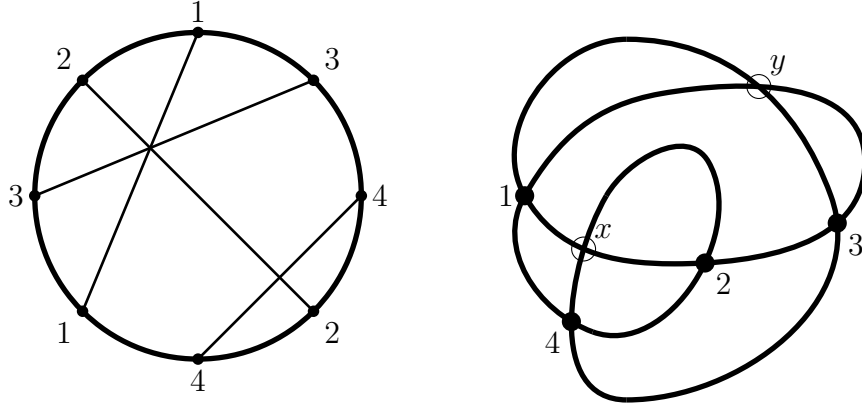


Рис. 1. The chord diagram and the shadow of the virtual knot are shown. Here x and y are the virtual crossing points.

мы можем получить точки самопересечения которые не соответствуют ни одной из имеющихся хорд на Гауссовой диаграмме, в таком случае мы объявим эту точку виртуальной точкой самопересечения. Так будем действовать до тех пор, пока не исчерпаем все точки самопересечения. После этого направим траекторию к начальной точке, чтобы получить замкнутую траекторию. \square

1.2. Конвэевские сглаживания. Пусть дана (виртуальная) плоская иммерсионная кривая \mathcal{C} и пусть \mathfrak{G} её диаграмма Гаусса. Рассмотрим какую нибудь точку (не виртуальную) самопересечения s кривой \mathcal{C} и пусть D_c есть круг достаточно малого радиуса, такой что $D_c \cap \mathcal{C}$ не содержит других точек самопересечения кривой \mathcal{C} (см.рис.2). Пусть ∂D_c обозначает границу круга D_c . Стартуя из точки s мы будем идти по кривой \mathcal{C} пока не вернёмся в точку s . Обозначим этот путь через \mathcal{L}_c (тонкая линия на рис. 2 слева) и пусть $cc_a^l c_z^l c$ есть последовательность точек записанная в том порядке в котором мы их встретили идя по пути \mathcal{L}_c , где $\{c_a^l, c_z^l\} = \mathcal{L}_c \cap \partial D_c$. Далее, продолжим наше движение по кривой \mathcal{C} в том же направлении и опять будет идти пока не вернёмся в точку s и обозначим этот путь через \mathcal{R}_c (на рис.2 слева, он изображён не тонкой линией). Таким образом мы обойдём всю кривую \mathcal{C} . Пусть $cc_a^r c_z^r c$ есть последовательность точек записанных в том порядке в котором мы встретили их идя по пути \mathcal{R}_c , здесь $\{c_a^r, c_z^r\} = \mathcal{R}_c \cap \partial D_c$.

Удалим теперь внутренность круга D_c и приклеим c_a^l к c_a^r , а c_z^l к c_z^r (см.рис.2 справа). Мы получаем новую плоскую кривую $\widehat{\mathcal{C}}_c$. Её диаграмму Гаусса мы будем обозначать через $\widehat{\mathfrak{G}}_c$.

Непосредственно из предыдущего рассуждение вытекает следующая

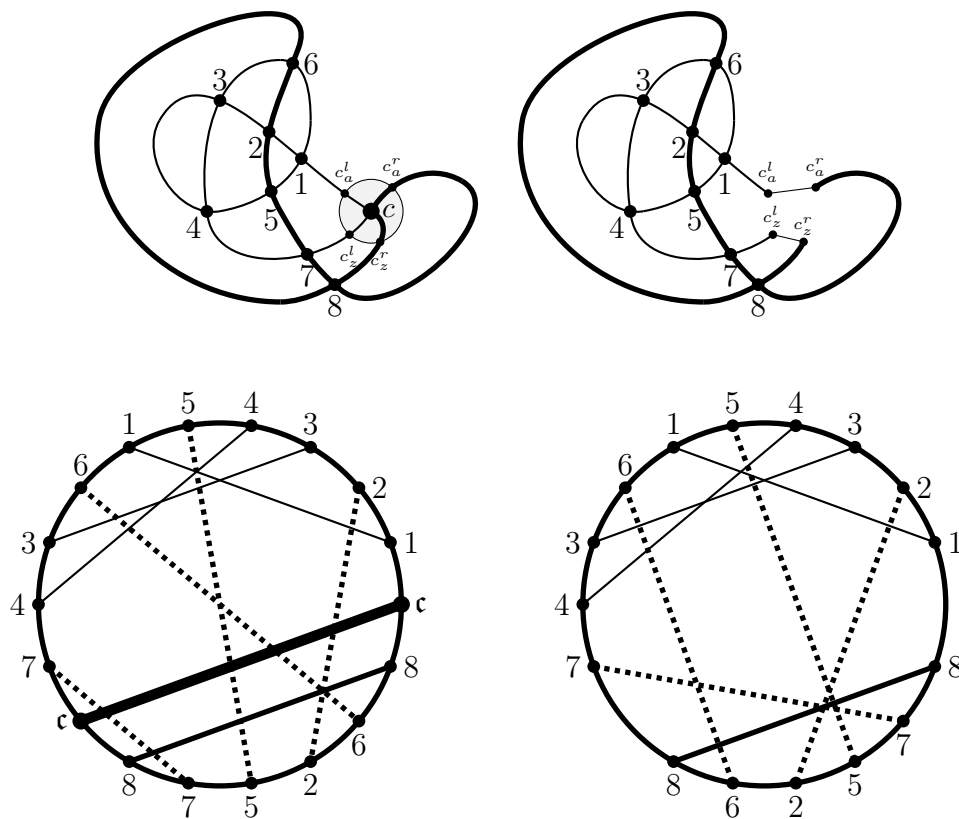


Рис. 2. Здесь показано конвэевское сглаживание перекрёстка c и соответствующей хорды c на Гауссовой диаграмме: мы видим что пунктированные хорды “поменяли своё положение”, т.е., параллельные стали пересекаться, а те которые пересекались стали параллельными. В то же время, те хорды которые вообще не пересекали хорду c (тонкие сплошные), сохранили своё положение.

Конструкция 1.3. Рассмотрим диаграмму Гаусса \mathfrak{G} и какую-нибудь её хорду $c \in \mathfrak{G}$. Образует Гауссову диаграмму $\widehat{\mathfrak{G}}_c$ из диаграммы \mathfrak{G} следующим образом:

- (1) рассмотрим какую-нибудь арку с концами хорды c , сотрём все хорды концы которых лежат на этой арке, но их концы не стираем,

- (2) меняем порядок следования концов, лежащих на выбранной арке, на противоположный и соединяем хордами одоимённые концы,
- (3) стираем хорду c в \mathfrak{G} с её концами.

Из этой конструкции вытекает

Предложение 1.1. Пусть дана диаграмма Гаусса \mathfrak{G} и пусть $c \in \mathfrak{G}$ её хорда. Обозначим через c_\times (соотв. c_\parallel) множество всех таких хорд которые пересекают (соотв. не пересекают) хорду c . Тогда диаграмма $\widehat{\mathfrak{G}}_c$ может быть получена из \mathfrak{G} следующим образом:

- (1) стираем хорду c в диаграмме \mathfrak{G} ,
- (2) если две хорды $a, b \in c_\times$ не пересекались (пересекались) в \mathfrak{G} , тогда они будут пересекаться (не пересекаться) в $\widehat{\mathfrak{G}}_c$,
- (3) хорды из множества c_\parallel сохраняют своё положение.

Доказательство. Действительно, идя по окружности диаграммы \mathfrak{G} в каком-нибудь направлении мы легко замечаем следующий очевидный факт: хорды a, b пересекаются если и только если их концы встретятся нам в порядке $a_0 b_0 a_1 b_1$ (здесь a_0, a_1 и b_0, b_1 – концы хорд a и b соответственно). Остальное следует из Конструкции 1.3. \square

2. РАЗБИЕНИЕ ДИАГРАММ ГАУССА И ОСНОВНАЯ ТЕОРЕМА

Теорема 2.1. Гауссова диаграмма \mathfrak{G} реализуема плоской иммерсионной кривой тогда и только тогда, когда выполнены следующие условия:

- (1) число всех хорд которые пересекают любую хорду должно быть чётным,
- (2) число всех хорд которые пересекают любые две параллельные хорды должно быть чётным,
- (3) для каждой хорды $c \in \mathfrak{G}$, диаграмма $\widehat{\mathfrak{G}}_c$ также удовлетворяет предыдущим двум условиям.

Определение 2.2. Рассмотрим Гауссову диаграмму \mathfrak{G} и какую-нибудь её хорду $a \in \mathfrak{G}$. C -контур, обозначаемый через $C(a)$, состоит из хорды a , выбранной арки $a_0 a_1$ вместе со всеми хордами оба конца которых лежат на ней. Хорды пересекающие хорду a мы будем называть *дверными хордами* C -контура или просто *дверями* контура $C(a)$.

Рассмотрим плоскую иммерсионную кривую $\mathcal{C} : S^1 \rightarrow \mathbb{R}^2$ и пусть \mathfrak{G} её диаграмма Гаусса. Каждая хорда $\mathfrak{c} \in \mathfrak{G}$ соответствует перекрёстку c на кривой \mathcal{C} . Таким образом, каждый C -контур $C(\mathfrak{c})$ соответствует (см. рис. 3) замкнутому пути $\mathcal{C}(c)$ на кривой \mathcal{C} . Мы будем называть такие пути $\mathcal{C}(c)$ *петлями кривой \mathcal{C}* . Легко видеть, что имеется взаимно однозначное соответствие между точками самопересечения петли $\mathcal{C}(c)$ и всем хордами C -контура $C(\mathfrak{c})$.

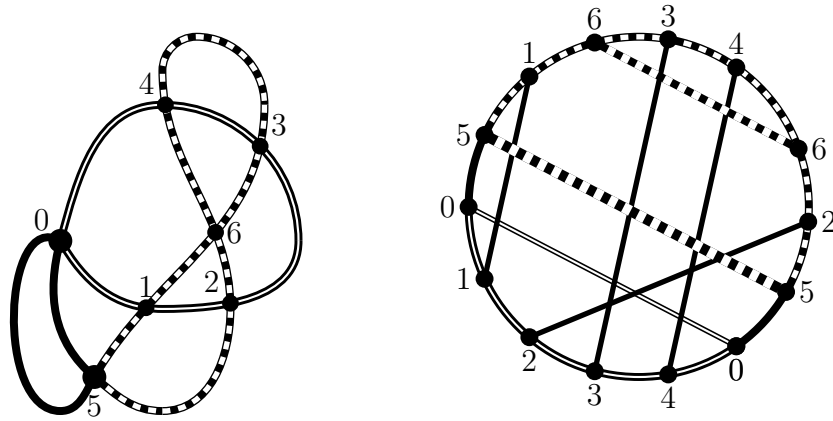


Рис. 3. Каждый C -контур Гауссовой диаграммы соответствует замкнутому пути на кривой и наоборот. Мы видим, что хорда с концами 6 соответствует точке самопересечения пунктированного пути на кривой.

Пример 2.3. На рисунке 3 изображена плоская кривая \mathcal{C} и её Гауссова диаграмма. Рассмотрим (изображённый пунктированной линией) C -контур $C(5)$. Хорошо видно что этот контур соответствует петле $\mathcal{C}(5)$ на кривой. Мы также видим, что точка самопересечения 6 этой петли соответствует хорде из множества 5_{\parallel} . Далее, петля изображённая с помощью двойной линии ($\mathcal{C}(0)$) соответствует C -контур $C(0)$ на диаграмме Гаусса, который также изображён двойной линией.

Определение 2.4. Пусть дана диаграмма Гаусса \mathfrak{G} и пусть \mathbf{a}, \mathbf{b} – её пересекающиеся хорды. X -контуром диаграммы \mathfrak{G} , обозначаемый через $X(\mathbf{a}, \mathbf{b})$, называется та часть диаграммы \mathfrak{G} которая состоит из двух выбранных непересекающихся арок $\mathbf{a}_0\mathbf{b}_0, \mathbf{a}_1\mathbf{b}_1$ (здесь $\mathbf{a}_0, \mathbf{a}_1$ и $\mathbf{b}_0, \mathbf{b}_1$ – концы хорд \mathbf{a} и \mathbf{b} соответственно) и всех хорд оба конца которых которых лежат на этих арках. Хорда называется *дверной хордой* X -контура $X(\mathbf{a}, \mathbf{b})$ если только один её конец лежит на арках этого X -контура. Мы будем

говорить, что X -контур $X(\mathbf{a}, \mathbf{b})$ невырожден если у него есть хотя бы одна дверная хорда, и он не содержит всех хорд диаграммы \mathfrak{G} .

Пример 2.5. Рассмотрим диаграмму Гаусса изображённую на рисунке 4. Хорды с концами 1, 3 вместе с чёрными арками образуют X -контур $X(1, 3)$. Хорошо видно что дверные хорды (=хорды с концами 2, 7, 8, 9) соответствуют “входам” и “выходам” из чёрного пути на кривой.

Предыдущий пример подводит нас к понятию разбиения (раскраски) диаграммы Гаусса.

Определение 2.6 (X -контурная раскраска). Пусть дана диаграмма Гаусса \mathfrak{G} и зафиксируем какой-нибудь её X -контур, скажем $X(\mathbf{a}, \mathbf{b})$. Будем двигаться по окружности диаграммы \mathfrak{G} в выбранном направлении и раскрашивать все её арки по следующим правилам:

- (1) мы не красим арки X -контура $X(\mathbf{a}, \mathbf{b})$,
- (2) для раскраски мы используем только два разных цвета,
- (3) мы меняем цвет каждый раз когда встречаем конец дверной хорды X -контура $X(\mathbf{a}, \mathbf{b})$, не лежащий на арке X -контура.

Аналогичным образом можно определить C -контурную раскраску.

Замечание 2.7. Рассмотрим диаграмму Гаусса \mathfrak{G} и пусть она реализуется (виртуальной) плоской иммерсионной кривой \mathcal{C} . Каждому X -контур $X(\mathbf{a}, \mathbf{b})$ диаграммы \mathfrak{G} соответствует замкнутый путь на кривой \mathcal{C} . Мы будем такой путь называть \mathcal{X} -контуром кривой и обозначать через $\mathcal{X}(a, b)$, перекрёстки на кривой которые соответствуют дверным хордам X -контура $X(\mathbf{a}, \mathbf{b})$ мы будем называть *дверными перекрёстками* \mathcal{X} -контура $\mathcal{X}(a, b)$.

Далее, легко видеть что $X(\mathbf{a}, \mathbf{b})$ -контурная раскраска \mathfrak{G} индуцирует раскраску кривой \mathcal{C} , которую мы так и будем называть $\mathcal{X}(a, b)$ -контурная раскраска кривой \mathcal{C} .

Теперь предположим, что мы имеем диаграмму Гаусса \mathfrak{G} которая реализуется плоской иммерсионной кривой \mathcal{C} (=то есть не виртуальной) и рассмотрим какой-нибудь X -контур $X(\mathbf{a}, \mathbf{b})$ диаграммы \mathfrak{G} такой, что соответствующий \mathcal{X} -контур $\mathcal{X}(a, b)$ на кривой \mathcal{C} есть несамопересекающаяся путь (=Жорданова кривая). Тогда $\mathcal{X}(a, b)$ -контурная раскраска кривой \mathcal{C} , как легко видеть (см.рис.4), делит кривую \mathcal{C} на две части, (ср. Теорема Жордана о кривой).

Таким образом, можно сказать, что в случае реализуемости диаграммы любой её X -контур делит её на две части (см. рис. 4).

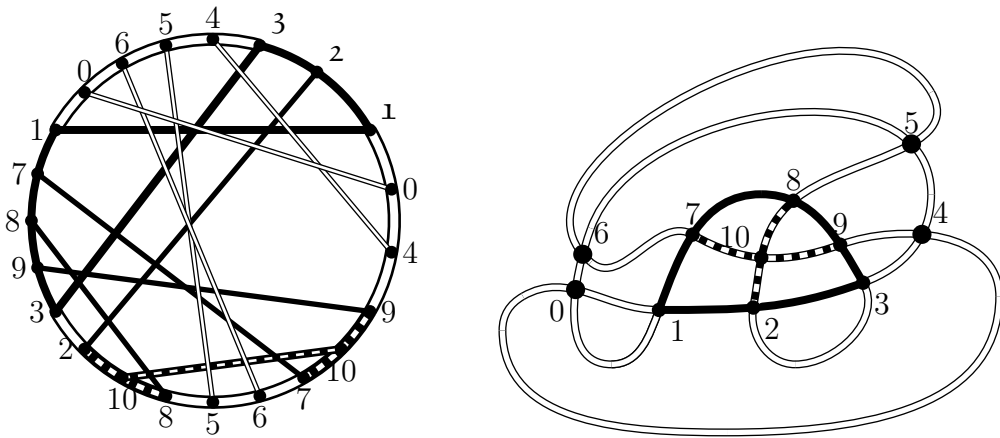


Рис. 4. Здесь показано как $X(1, 3)$ -контурная раскраска диаграммы Гаусса индуцирует раскраску на кривой. Мы видим что \mathcal{X} -контур $\mathcal{X}(1, 3)$ (= чёрная часть кривой) делит кривую на две части окрашенные в разные цвета.

Итак, у нас всё готово для объяснения условий основной теоремы.

Замечание 2.8. Будем понимать диаграмму Гаусса \mathfrak{G} как схему склейки (построения) плоской замкнутой кривой из окружности, *т.е.*, для каждой хорды мы склеиваем (отождествляем) друг с другом её концы.

Возьмём какую нибудь хорду, скажем $\mathbf{a} \in \mathfrak{G}$, и склеим её концы, таким образом мы получаем из окружности две петли, скажем \mathcal{C}_a^- и \mathcal{C}_a^+ . Рассмотрим одну из петель, скажем \mathcal{C}_a^- . По теореме Жордана о кривой, \mathcal{C}_a^- разбивает плоскость на две области – внутреннюю \mathcal{I}_a и внешнюю \mathcal{O}_a части петли \mathcal{C}_a^- . Для любой хорды пересекающей хорду \mathbf{a} (= элемент множества \mathbf{a}_\times) видно, что один из её концов лежит на \mathcal{C}_a^- , а другой на \mathcal{C}_a^+ . Очевидно и обратное, если один из концов хорды, скажем \mathbf{c} лежит на \mathcal{C}_a^- , а другой на \mathcal{C}_a^+ , то \mathbf{c} пересекает \mathbf{a} . Из этих же рассуждений также вытекает, что хорда \mathbf{b} не пересекает хорду \mathbf{a} если и только если все её концы лежат, либо на \mathcal{C}_a^- либо на \mathcal{C}_a^+ .

- (1) Склеим \mathcal{C}_a^+ с \mathcal{C}_a^- по таким точкам (= концам хорд из множества \mathbf{a}_\times) и будем двигаться по \mathcal{C}_a^+ . Без ограничения общности, будем считать, что \mathcal{C}_a^+ лежит во внешней области \mathcal{O}_a петли \mathcal{C}_a^- . Таким образом, двигаясь по \mathcal{C}_a^+ мы начнём и закончим движение в области \mathcal{O}_a , а значит сколько раз мы заходили, в результате движения, во внутреннюю область \mathcal{I}_a , столько же раз мы должны были выйти из неё, *т.е.*, число входов в область \mathcal{I}_a должно

равняться числу выходов из неё, а это и влечёт первое условие Теоремы.

- (2) Пусть $\mathbf{a}, \mathbf{b} \in \mathfrak{G}$ – две непересекающиеся хорды. Склеим окружность по концам хорды \mathbf{a} , а потом по концам хорды \mathbf{b} . Без ограничения общности, можно считать, что одна из петель, скажем \mathcal{C}_b^- лежит внутри (= внутренняя область \mathcal{I}_a) петли \mathcal{C}_a^- . Аналогично рассуждая, как и в предыдущем пункте мы получаем, что для реализации диаграммы \mathfrak{G} , точек пересечения двух петель, скажем \mathcal{C}_b^- и \mathcal{C}_a^- , также должно быть чётно, но, как легко видеть, их точки пересечения это хорды, которые одновременно пересекают и хорду \mathbf{a} и хорду \mathbf{b} , а это и влечёт второе условие Теоремы.

Отметим что предыдущих двух условий недостаточно для реализации диаграмм Гаусса. Рассмотрим пример диаграммы изображённой на рисунке 5.

Мы видим, что плоская кривая получается из окружности склеиванием её точек с одинаковыми номерами. Нетрудно видеть, что диаграмма удовлетворяет первым двум условиям теоремы, но в результате склейки мы получим новые точки самопересечения какой-нибудь из петель. Таким образом, диаграмма удовлетворяющая первым двум условиям теоремы представляет собой схему склейку петель друг к другу по заданным точкам, но эти условия не дают, вообще говоря, гарантии того, что это можно сделать без получения новых точек самопересечения каких-нибудь петель.

- (3) Итак, пусть какая-нибудь петля перекручиваясь в результате приклеивания её к другой петле даст новые (виртуальные) точки самопересечения. Признаком появления таких точек является следующее наблюдение: в диаграмме \mathfrak{G} найдётся такой X -контур, скажем $X(\mathbf{a}, \mathbf{b})$, что в результате $X(\mathbf{a}, \mathbf{b})$ -раскраски диаграммы появится хорда концы которой лежат в дугах разных цветов (см.рис.6). Можно показать, что это равносильно тому, что диаграмма $\widehat{\mathfrak{G}}_b$ не удовлетворяет предыдущим двум условиям, что и даёт третье условие теоремы.

3. МАТРИЦА ДИАГРАММЫ ГАУССА

В данном разделе мы переведём условия реализации диаграмм Гаусса на язык матриц. Всюду в дальнейшем мы рассматриваем квадратные матрицы над полем \mathbb{Z}_2 , при этом все матрицы будут симметричные

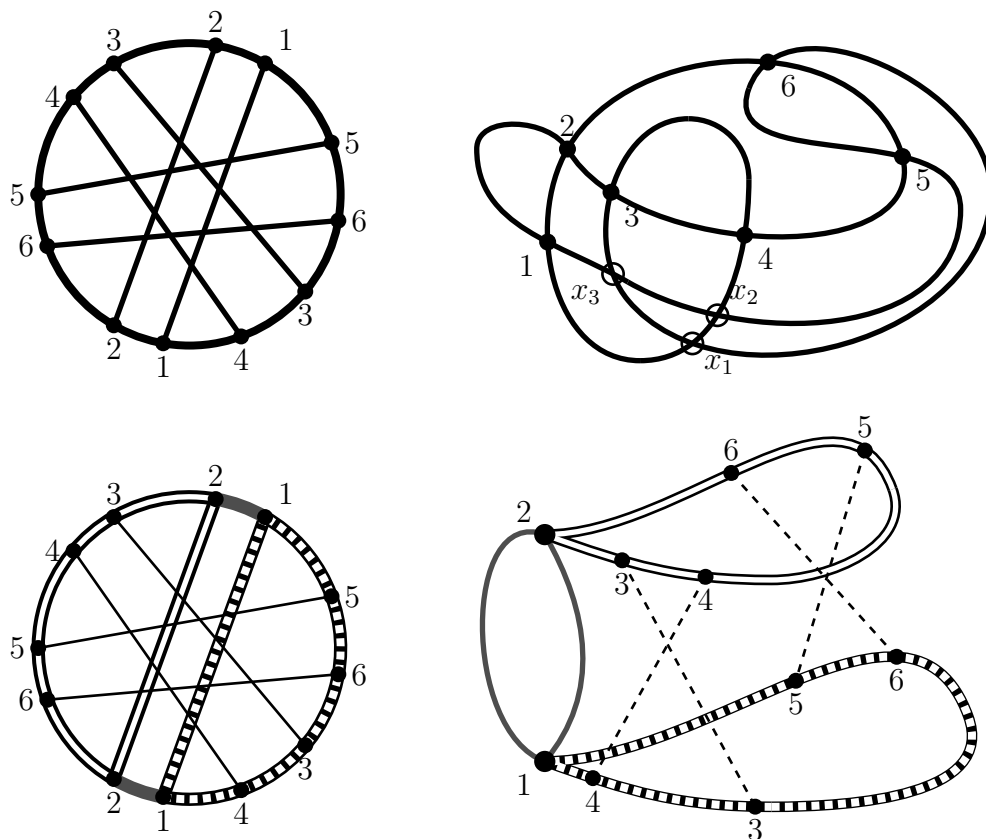


Рис. 5. Склеивая две петли (изображённые двойной и пунктирной линиями) по точкам 3, 4, 5, 6, приклеиваемая петля перекручиваясь даст точки самопересечения x_1, x_2, x_3 , которые не соответствуют ни одной из данных хорд на диаграмме.

относительно главной диагонали и с нулевой главной диагональю. Мы также будем обозначать через $|X|$ количество элементов конечного множества X .

Конструкция 3.1. Пусть дана диаграмма Гаусса \mathfrak{G} , поставим ей в соответствие неориентированный граф $\Gamma(\mathfrak{G}) = (V, E)$, в котором множество вершин V соответствует множеству хорд диаграммы \mathfrak{G} , пара вершин соединены ребром тогда и только тогда когда соответствующие хорды пересекаются. Рассмотрим далее матрицу смежности $M(\Gamma(\mathfrak{G}))$ (мы будем использовать обозначение $M(\mathfrak{G})$) этого графа. Другими словами матрица $M(\mathfrak{G})$ строится так: пусть диаграмма Гаусса \mathfrak{G} имеет n

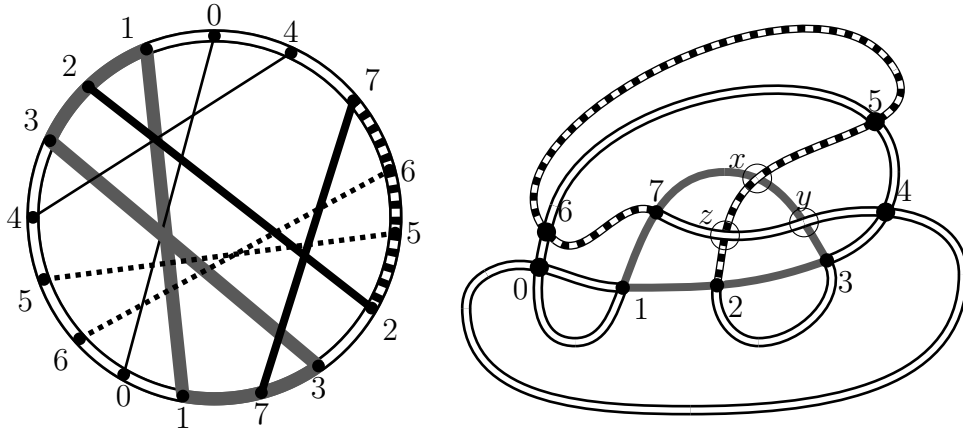


Рис. 6. Здесь показана диаграмма Гаусса которая удовлетворяет первым двум условиям теоремы, но не является реализуемой. Признаком появления виртуальных точек x, y, z является тот факт, что в результате $X(1, 3)$ -раскраски мы получаем, что хорды с концами 5 и 6 обладают тем свойством, что её концы лежат в разноцветных дугах.

хорд, занумеруем эти хорды числами $1, 2, \dots, n$. Тогда матрица $M(\mathfrak{G})$ – это матрица размера $n \times n$, в которой значение элемента m_{ij} равно 1 если хорды с номерами i и j пересекаются, и $m_{ij} = 0$ в противном случае. Положим $m_{ii} := 0$ для каждого $1 \leq i \leq n$.

Легко видеть что для любой диаграммы Гаусса \mathfrak{G} её матрица $M(\mathfrak{G})$ есть симметричная относительно главной диагонали матрица.

Определение 3.2. Пусть M есть квадратная матрица размера $n \times n$. Пусть $\{m_i = (m_{i1}, \dots, m_{in})\}_{1 \leq i \leq n}$ – все её строки. Положим

$$\langle m_i, m_j \rangle := m_{i1}m_{j1} + \dots + m_{in}m_{jn}$$

и будем называть $\langle m_i, m_j \rangle$ скалярным произведением строк.

Ясно что это определение можно продолжить для любого количества строк. Именно, положим

$$\langle m_{i_1}, \dots, m_{i_k} \rangle := m_{i_1 1} \dots m_{i_k 1} + \dots + m_{i_1 n} \dots m_{i_k n}.$$

Лемма 3.1. Пусть имеем диаграмму Гаусса \mathfrak{G} . Пусть в ней есть n хорд. Произвольно занумеруем её хорды числами $1, 2, \dots, n$. Рассмотрим её матрицу $M(\mathfrak{G})$. Пусть хорды $\mathbf{a}_1, \dots, \mathbf{a}_k$ соответствуют строкам $\mathbf{m}_1, \dots, \mathbf{m}_k$. Тогда

$$|\mathbf{a}_{1 \times} \cap \dots \cap \mathbf{a}_{k \times}| = \langle \mathbf{m}_1, \dots, \mathbf{m}_k \rangle.$$

Доказательство. Действительно, если $\mathbf{m}_{i_1 t} \dots \mathbf{m}_{i_k t} \neq 0$, для некоторого $1 \leq t \leq n$, то хорда с номером t пересекает все хорды $\mathbf{a}_1, \dots, \mathbf{a}_k$. Дальнейшее очевидно. \square

Теорема 3.3. Пусть диаграмма Гаусса \mathfrak{G} имеет n хорд, занумеруем её хорды числами $1, 2, \dots, n$. Тогда диаграмма Гаусса \mathfrak{G} реализуема если и только если, выполняются следующие условия для её матрицы $M(\mathfrak{G})$;

- (1) $\langle \mathbf{m}_i, \mathbf{m}_i \rangle \equiv 0 \pmod{2}$ для всех $1 \leq i \leq n$,
- (2) $\langle \mathbf{m}_i, \mathbf{m}_j \rangle \equiv 0 \pmod{2}$, если хорды с номерами i и j не пересекаются,
- (3) $\langle \mathbf{m}_i, \mathbf{m}_j \rangle + \langle \mathbf{m}_i, \mathbf{m}_k \rangle + \langle \mathbf{m}_j, \mathbf{m}_k \rangle \equiv 1 \pmod{2}$, если хорды с номерами i, j, k пересекаются между собой.

Доказательство. Действительно, первые два условия говорят о том что число всех хорд пересекающих любую хорду и число всех хорд которые пересекают любые две параллельные хорды — чётно. Это есть первые два условия теоремы 2.1. Рассмотрим теперь третье условие теоремы 2.1. Рассмотрим три пересекающиеся между собой хорды диаграммы \mathfrak{G} . Если в диаграмме \mathfrak{G} таких хорд нет, то она реализуема если и только если выполняются первые два условия теоремы, и поэтому мы уже получили условия на строки матрицы $M(\mathfrak{G})$. Итак, пусть имеем три пересекающиеся хорды $\mathbf{a}, \mathbf{b}, \mathbf{c}$ диаграммы \mathfrak{G} . Рассмотрим следующие множества хорд (см. рис 7):

$$\begin{aligned} \mathfrak{S}_a &:= \mathbf{a}_\times \setminus \{\mathbf{b}_\times, \mathbf{c}_\times\}, \\ \mathfrak{S}_{bc} &:= \mathbf{b}_\times \cap \mathbf{c}_\times \setminus \{\mathbf{a}_\times\} \end{aligned}$$

Из предложения 1.1 вытекает что в в диаграмме $\widehat{\mathfrak{S}}_a$, хорды \mathbf{b}, \mathbf{c} будут параллельны, а множество всех хорд которые будут пересекать и \mathbf{b} и \mathbf{c} будет множество $\mathfrak{S}_a \cup \mathfrak{S}_{bc}$. Таким образом, по теореме 2.1, если диаграмма \mathfrak{G} реализуема, то число хорд в множестве $\mathfrak{S}_a \cup \mathfrak{S}_{bc}$ должно быть чётным, т.е.,

$$|\mathfrak{S}_a| + |\mathfrak{S}_{bc}| \equiv 0 \pmod{2}.$$

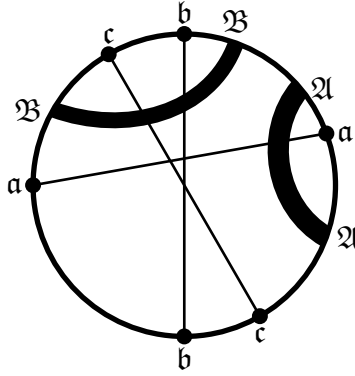


Рис. 7. Здесь схематично изображены множество $\mathfrak{S}_a = \mathfrak{A}$ и множество $\mathfrak{S}_{bc} = \mathfrak{B}$.

По лемме 3.1, имеем:

$$\begin{aligned} |\mathfrak{S}_a| &= \langle a, a \rangle - \langle a, b \rangle - \langle a, c \rangle - \langle a, b, c \rangle, \\ |\mathfrak{S}_{bc}| &= \langle b, c \rangle - 1 - \langle a, b, c \rangle. \end{aligned}$$

Таким образом, учитывая что, как мы уже показали, $\langle a, a \rangle \equiv 0 \pmod{2}$, получаем

$$\begin{aligned} |\mathfrak{S}_a| + |\mathfrak{S}_{bc}| &= \langle a, a \rangle - \langle a, b \rangle - \langle a, c \rangle - \langle a, b, c \rangle \\ &\quad + \langle b, c \rangle - 1 - \langle a, b, c \rangle \\ &\equiv \langle a, b \rangle + \langle a, c \rangle + \langle b, c \rangle \\ &\equiv 1 \pmod{2}, \end{aligned}$$

что и доказывает теорему. \square

Замечание 3.4. Количество матриц удовлетворяющих условиям, только что рассмотренной теоремы, больше чем реализуемых диаграмм Гаусса. Причина этого заключается в том, что такая матрица “знает” только то как пересекаются отрезки, но вовсе не обязательно чтобы все эти отрезки были хордами, может так случиться, что отрезок пересекает нужные отрезки, но при этом его концы не могут лежать на дугах окружности. Тем не менее, для меандров, как мы докажем далее, есть взаимно-однозначное соответствие между диаграммами Гаусса и матрицами удовлетворяющие условиям выше.

4. ОБРАЗУЮЩИЕ ТЁРСТОНА ГРУППЫ КОС

Здесь мы напомним важные для дальнейшего понятия и определения.

Определение 4.1. Группа кос B_n из n нитей есть группа порождённая $\sigma_1, \dots, \sigma_{n-1}$ и следующими соотношениями между ними:

$$\begin{aligned}\sigma_i \sigma_j &= \sigma_j \sigma_i, & |i - j| > 1, \\ \sigma_{i+1} \sigma_i \sigma_{i+1} &= \sigma_i \sigma_{i+1} \sigma_i.\end{aligned}$$

Тем не менее, эту группу можно задать и по другому, а именно через порождающие Тёрстона [10, II.9]. Напомним как это делается.

Как хорошо известно симметрическая группа \mathfrak{S}_n может быть задана как группа порождённая элементарными транспозициями $s_i = (i, i + 1)$ и следующим набор соотношений между ними

- (1) $s_i^2 = 1$,
- (2) $s_i s_j = s_j s_i$,
- (3) $s_{i+1} s_i s_{i+1} = s_i s_{i+1} s_i$.

Далее, мы имеем эпиморфизм групп $p : B_n \rightarrow \mathfrak{S}_n$, где \mathfrak{S}_n – симметрическая группа. Порождающая σ_i отображается в элементарную транспозицию $s_i = (i, i + 1)$, для каждого $1 \leq i \leq n - 1$.

Мы хотим определить отображение $p^{-1} : \mathfrak{S}_n \rightarrow B_n$ такое что $p \circ p^{-1} = \mathbf{id}_{B_n}$ и $p^{-1} \circ p = \mathbf{id}_{\mathfrak{S}_n}$. Для этого нам понадобится следующие определение.

Определение 4.2. [10, стр. 183] Пусть имеем перестановку $\pi \in \mathfrak{S}_n$, тогда она доставляет следующий порядок \leq_π на множестве $\{1, \dots, n\}$: $i \leq_\pi j$ если $\pi(i) < \pi(j)$. Положим

$$R(\pi) := \{(i, j) \in \{1, \dots, n\} \times \{1, \dots, n\} \mid i < j, \pi(i) > \pi(j)\}.$$

Приведём пример.

Пример 4.3. Рассмотрим перестановку $\pi = \begin{pmatrix} 1 & 2 & 3 & 4 & 5 & 6 \\ 4 & 2 & 6 & 1 & 5 & 3 \end{pmatrix} \in \mathfrak{S}_6$.

Находим

$$R(\pi) = \{(1, 2), (1, 4), (1, 6), (2, 4), (3, 4), (3, 5), (3, 6), (5, 6)\}.$$

Действительно, имеем

$$\begin{aligned}\begin{cases} 1 < 2, \\ \pi(1) > \pi(2), \end{cases} & \begin{cases} 1 < 4, \\ \pi(1) > \pi(4), \end{cases} & \begin{cases} 1 < 6, \\ \pi(1) > \pi(6), \end{cases} & \begin{cases} 2 < 4, \\ \pi(2) > \pi(4), \end{cases} \\ \begin{cases} 3 < 4, \\ \pi(3) > \pi(4), \end{cases} & \begin{cases} 3 < 5, \\ \pi(3) > \pi(5), \end{cases} & \begin{cases} 3 < 6, \\ \pi(3) > \pi(6), \end{cases} & \begin{cases} 5 < 6, \\ \pi(5) > \pi(6). \end{cases}\end{aligned}$$

□

Всюду в дальнейшем мы будем косы изображать вертикально; при этом мы будем считать что нити стартуют сверху. Начала нитей мы будем всегда нумеровать натуральными $1, 2, \dots, n$ числами слева направо согласно естественному порядку. Под номером нити мы будем понимать номер её начала.

Далее, говорят что коса $b \in B_n$ *позитивная* (*негативная*) если все её перекрёстки получаются так; нить выходящая из меньшего номера переплетается сверху (снизу) с нитью выходящей из бóльшего номера (см. рис.8). В дальнейшем мы будем рассматривать только позитивные косы. Позитивная коса называется *простой*[‡] если любые её две нити переплетаются между собой не более одного раза.

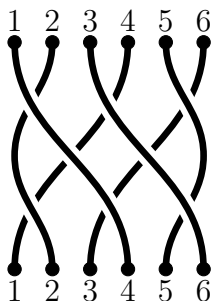


Рис. 8. Простая позитивная коса.

Очевидно что число перекрёстков в позитивной косе инвариантно относительно изотопии этой косы. С другой стороны имеет место следующая утверждение [10, Lemma 9.1.10]

Предложение 4.1. Пусть простая позитивная коса P отображается в перестановку π посредством эпиморфизма $p : B_n \rightarrow \mathfrak{S}_n$. Тогда нити в P с номерами i и j переплетаются тогда и только тогда когда $(i, j) \in R(\pi)$.

Таким образом искомое отображение $p^{-1} : \mathfrak{S}_n \rightarrow B_n$ задаётся правилом $\pi \mapsto R(\pi)$.

Ясно что не любой набор пар $\{(i, j) \mid i, j \in \{1, 2, \dots, n\}\}$ задаёт простую позитивную косу.

Лемма 4.1. [10, Lemma 9.1.6] Множество R пар (i, j) , где $i < j$, задаёт простую неповторяющуюся косу тогда и только тогда когда выполняются следующие два условия

[‡]в [10] такие косы называли неповторяющиеся (non-repeating braids)

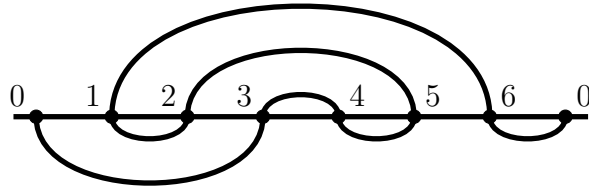


Рис. 9. Здесь изображён меандр – траектория без самопересечений проходящая через все точки горизонтальной прямой.

- (1) если $(i, j) \in R$ и $(j, k) \in R$ то и $(i, k) \in R$,
- (2) если $(i, k) \in R$ то или $(i, j) \in R$ или $(j, k) \in R$ для каждого $i < j < k$.

5. МЕАНДРЫ И ИХ ДИАГРАММЫ ГАУССА

Пусть имеем $2n$ точек на плоскости. Плоская кривая без самопересечений содержащая все эти точки называется *меандром*. Для удобства мы будем располагать $2n$ точек на прямой ℓ и нумеровать их в порядке возрастания слева направо числами $1, 2, \dots, n$. Далее, добавим с обеих сторон от этих точек точки с одинаковым номером 0 . То что, такое представление меандра соответствует обычному, легко увидеть отождествив нулевые точки, получим меандр на петле.

Таким образом мы имеем следующую задачу: пусть дана горизонтальная прямая с отмеченными $2n + 2$ точками на ней. Занумеруем эти точки следующим образом; самая левая и самая правая точки занумерованы одинаково числом 0 , а остальные, слева направо нумеруем числами $1, 2, \dots, 2n$. Стартуя с точки 0 и идя сверху вниз, мы должны обойти все выделенные $2n$ точек прямой ℓ и закончить в другой точке с номером 0 причём так, чтобы полученная траектория себя не пересекала и чтобы в самую правую точку мы заходили снизу вверх.

Более проще можно сказать так, пусть имеем петлю на которой отмечены $2n$ точек, наша задача – обойти эти точки петли так чтобы полученная траектория себя не пересекала.

Определение 5.1. Матрица $M = (m_{ij}) \in \text{Mat}_{n+1}(\mathbb{Z}_2)$ называется меандровой если;

- (1) её главная диагональ состоит из нулей и M симметрична относительно главной диагонали,
- (2) в ней есть такая строка каждый элемент которой равен 1 ,

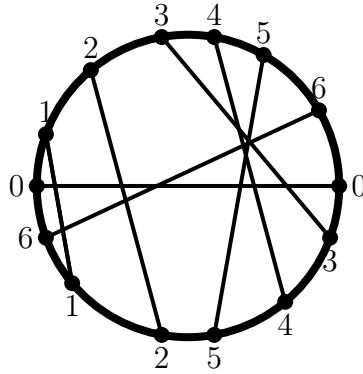


Рис. 10. Здесь изображена Гауссова диаграмма меандра из рис.9

- (3) M удовлетворяет условиям теоремы 3.3,
- (4) если $m_{ij} = 1$ и $m_{jk} = 1$, то и $m_{ik} = 1$, для всех таких $i, j, k \in \{1, 2, \dots, n\}$
- (5) если $m_{ik} = 1$ то или $m_{ij} = 1$ или $m_{jk} = 1$ для каждого $i \leq j \leq k$.

Предложение 5.1. *Любая меандровая матрица есть матрица Гауссовой диаграммы меандра.*

Доказательство. Пусть имеем $n + 1$ отрезков на плоскости. Занумеруем эти отрезки числами $0, 1, \dots, n$ произвольным образом. Тогда из первого условия следуют, что наша матрица есть матрица пересечений этих отрезков друг с другом; каждая строка с номером i соответствует отрезку с таким же номером, и если отрезки с номерами i, j пересекаются (не пересекаются) то $m_{ij} = 1$ ($m_{ij} = 0$). Второе условие говорит о том что есть отрезок, скажем с номером r , которого пересекают все остальные отрезки. Далее, из предложения 4.1 и леммы 4.1 вытекает, что последние два условия говорят о том, что все отрезки кроме отрезка с номером r есть нити некоторой простой косы. Тогда мы можем так расположить все отрезки которые пересекают отрезок с номером r , что мы получаем косу все нити которой пересекает отрезок с номером r . Таким образом мы получаем диаграмму Гаусса. Наконец третье условие говорит о том что эта диаграмма Гаусса реализуема некоторой плоской кривой \mathcal{C} . Далее, хорде с номером r соответствует петля $\mathcal{C}(r)$ на кривой, которая содержит все остальные перекрёстки, что и означает что \mathcal{C} – меандр. \square

Наша цель научиться строить все меандровы матрицы, этим мы и займёмся в следующем пункте.

6. ПОСТРОЕНИЕ МЕАНДРОВЫХ МАТРИЦ

Мы будем строить меандровы матрицы по шагам. Начнём с примера.

Пример 6.1. Рассмотрим меандр изображённый на рис. 9 и его Гауссову диаграмму (см. рис. 10). Соответствующая меандрова матрица имеет следующий вид

$$\begin{array}{c}
 0 \quad 1 \quad 2 \quad 3 \quad 4 \quad 5 \quad 6 \\
 \begin{array}{c}
 0 \\
 1 \\
 2 \\
 3 \\
 4 \\
 5 \\
 6
 \end{array}
 \left(\begin{array}{cccccc}
 \mathbf{0} & 1 & 1 & 1 & 1 & 1 & 1 \\
 1 & \mathbf{0} & 0 & 0 & 0 & 0 & 1 \\
 1 & 0 & \mathbf{0} & 0 & 0 & 0 & 1 \\
 1 & 0 & 0 & \mathbf{0} & 1 & 1 & 1 \\
 1 & 0 & 0 & 1 & \mathbf{0} & 1 & 1 \\
 1 & 0 & 0 & 1 & 1 & \mathbf{0} & 1 \\
 1 & 1 & 1 & 1 & 1 & 1 & \mathbf{0}
 \end{array} \right)
 \end{array}$$

Давайте понаблюдаем как строилась эта матрица по шагам. Напишем таблицу с семью строками и семью столбцами. Пронумеруем строки и столбцы слева на право числами $0, 1, \dots, 6$. Занулим главную диагональ и заполним единицами строку с номером 0. Остальные клетки оставим не заполненными. Матрица должна быть симметричной, поэтому всё, что мы будем делать со строками тоже будем делать и с соответствующими столбцами.

	0	1	2	3	4	5	6
0	$\mathbf{0}$	1	1	1	1	1	1
1	1	$\mathbf{0}$					
2	1		$\mathbf{0}$				
3	1			$\mathbf{0}$			
4	1				$\mathbf{0}$		
5	1					$\mathbf{0}$	
6	1						$\mathbf{0}$

Итак, мы стартуем с “левого нуля” и идёт в точку с номером 3. Это соответствует тому, что в Гауссовой диаграмме хорда с номером 3 будет пересекать хорды с номерами 4, 5, 6 и будет параллельна хордам с номерами 1, 2. Таким образом на следующем шаге мы получаем следующую частично заполненную матрицу.

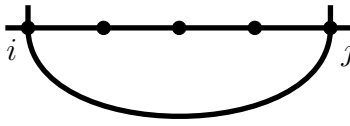


Рис. 11. Если i, j имеют одинаковую чётность, то между ними имеется нечётное число точек.

	0	1	2	3	4	5	6
0	0	1	1	1	1	1	1
1	1	0		0			
2	1		0	0			
3	1	0	0	0	1	1	1
4	1			1	0		
5	1			1		0	
6	1			1			0

Далее, мы идём в точку с номером 4 и получаем таким образом следующую частично заполненную таблицу

	0	1	2	3	4	5	6
0	0	1	1	1	1	1	1
1	1	0		0	0		
2	1		0	0	0		
3	1	0	0	0	1	1	1
4	1	0	0	1	0	1	1
5	1			1	1	0	
6	1			1	1		0

Заметим также, что каждый раз мы меняли чётность номера строки. □

Лемма 6.1. При пошаговом заполнении таблицы, мы каждый раз должны менять чётность заполняемой строки. При этом заполнение строки должно производиться по правилу: пустые клетки слева от главной диагонали заполняются нулями, а остальные единицами (такие строки мы будем называть D -заполненными).

Доказательство. Действительно, пусть мы вышли из точки i и идём в точку j . Если i и j одной чётности, то между ними нечётное число точек (см. рис.11). Так как траектории себя пересекать запрещено, то обойти

эти точки не возможно. Это означает, что каждый раз мы должны менять чётность при выходе из какой нибудь точки. Далее, проходя через точку, скажем с номером i , мы тем самым заставляем хорды с большими номерами пересекать нашу хорду. Но это в точности и означает, что соответствующая строка заполнится по правилу: пустые клетки слева от главной диагонали заполняются нулями, а остальные единицами. Что и требовалось доказать. \square

Лемма 6.2. Пусть на каком то шаге заполнения матрицы $M(\mathfrak{G})$ заполнилась строка с номером i , тогда для любой строки с номером $j > i$, при условии что $\langle i, j \rangle = 1$, имеем

$$\langle i, j \rangle \equiv 1 \pmod{2}.$$

Доказательство. Действительно, если $j > i$, и $\langle i, j \rangle = 1$ то эти условия соответствуют тому что хорды с номерами i и j пересекаются. Но их пересекает и хорда с номером 0, тогда по третьему условию Теоремы 3.3, $\langle 0, i \rangle + \langle 0, j \rangle + \langle i, j \rangle \equiv 1 \pmod{2}$. Имеем

$$\langle 0, i \rangle + \langle 0, j \rangle + \langle i, j \rangle = \langle i, j \rangle,$$

потому что $\langle 0, i \rangle = \langle i, i \rangle - 1$, для любого $1 \leq i \leq n$, что и доказывает требуемое. \square

Теорема 6.2. Пусть матрица $M \in \text{Mat}_n(\mathbb{Z}_2)$ имеет нулевую диагональ и симметричная относительно неё. Тогда M меандрова тогда и только тогда, когда выполнены следующие условия

- (1) в ней есть такая строка каждый элемент которой равен 1,
- (2) если $m_{ij} = 1$ и $m_{jk} = 1$, то и $m_{ik} = 1$, для всех таких $i, j, k \in \{1, 2, \dots, n\}$
- (3) если $m_{ik} = 1$ то или $m_{ij} = 1$ или $m_{jk} = 1$ для каждого $i \leq j \leq k$,
- (4) для любых $1 \leq i, j \leq n$, имеем

$$\langle m_i, m_j \rangle \equiv 0 \pmod{2}, \quad \text{если } i = j \text{ или } m_{ij} = 0, \quad (6.1)$$

$$\langle m_i, m_j \rangle \equiv 1 \pmod{2}, \quad \text{если } m_{ij} = 1. \quad (6.2)$$

Доказательство. Из определения 5.1 и предложения 5.1 вытекает что нам достаточно доказать эквивалентность последнего условия с условиями теоремы 3.3. Очевидно равенство $\langle m_i, m_i \rangle \equiv 0 \pmod{2}$ эквивалентен тому что число хорд пересекающих хорду соответствующую строке

m_i , пересекает чётное число хорд. Далее, условие $m_{ij} = 0$ означает что хорды соответствующие строкам m_i и m_j непересекаются, а равенство $\langle m_i, m_j \rangle \equiv 0 \pmod{2}$ означает что этих хорд одновременно пересекают чётное число хорд. Таким образом разобранные случаи это просто первые два условия теоремы 3.3.

Осталось показать что случай $\langle m_i, m_j \rangle \equiv 1 \pmod{2}$, когда $m_{ij} = 1$, эквивалентен третьему условию теоремы 3.3. Согласно лемме 6.2, из третьего условия теоремы 3.3 вытекает (6.2). Пусть теперь (6.2) выполнено, рассмотрим произвольные пересекающиеся между собой три хорды, и пусть они соответствуют строкам m_i, m_j и m_k . Тогда $\langle m_i, m_j \rangle \equiv 1 \pmod{2}$, $\langle m_i, m_k \rangle \equiv 1 \pmod{2}$ и $\langle m_j, m_k \rangle \equiv 1 \pmod{2}$, откуда и следует требуемое. \square

Используя эту теорему мы получаем алгоритм построения меандровых матриц, а значит и самих меандров.

REQUIRE чётное число N , $S_1 = \{1, 3, \dots, N - 1\}$, $S_0 = \{2, 4, \dots, N\}$;

ENSURE $n_1, \dots, n_N \in S_1 \cup S_0$;

1. построить таблицу размера $(N + 1) \times (N + 1)$ с пустыми клетками и заполнить главную диагональ нулями;
2. занумеровать строки слева направо, а столбцы сверху вниз числами $0, 1, \dots, N$;
3. D -заполнить строку и столбец с номером 0;
4. выбрать строку с нечётным номером $n \in S_1$ и D -заполнить её и столбец с тем же номером;
5. $i = 1$;
6. PRINT n ;
6. $S_i := S_i \setminus \{n\}$;
7. IF $S_i = \emptyset$ THEN GOTO 13 ELSE GOTO 8;
- 8 $i := i + 1 \pmod{2}$;
9. выбрать строку (столбец) с номером $m \in S_i$;
10. IF эту строку (столбец) можно D -заполнить THEN GOTO 11 ELSE выбрать другой $m' \in S_i \setminus \{m\}$ GOTO 10;

11. используя (6.1), (6.2) получить уравнения на клетки;
12. IF система совместна THEN GOTO 6 ELSE выбираем строку (столбец) с другим номером $m' \in S_i \setminus \{m\}$ GOTO 10;
13. END

Пример 6.3. Построим меандрову матрицу и сам меандр проходящий через 8 точек.

- (0) Рисуем таблицу размера 9×9 и нумеруем столбцы и строки числами $0, 1, \dots, 8$. Заполняем главную диагональ нулями. D -заполняем строку с номером 0.

	0	1	2	3	4	5	6	7	8
0	0	1	1	1	1	1	1	1	1
1	1	0							
2	1		0						
3	1			0					
4	1				0				
5	1					0			
6	1						0		
7	1							0	
8	1								0

- (1) Мы можем выбирать любую строку с нечётным номером. Пусть это будет строка с номером 5. Заполняем нулями клетки этой строки до главной диагонали, а потом единицами, тоже самое делаем и со столбцом.

	0	1	2	3	4	5	6	7	8
0	0	1	1	1	1	1	1	1	1
1	1	0				0			
2	1		0			0			
3	1			0		0			
4	1				0	0			
5	1	0	0	0	0	0	1	1	1
6	1					1	0		
7	1					1		0	
8	1					1			0

Далее, по лемме 6.2, находим

$$\begin{cases} \langle 5, 6 \rangle = 1 + (6, 7) + (6, 8) \equiv 1 \pmod{2}, \\ \langle 5, 7 \rangle = 1 + (6, 7) + (7, 8) \equiv 1 \pmod{2}, \\ \langle 5, 8 \rangle = 1 + (6, 8) + (7, 8) \equiv 1 \pmod{2}, \end{cases}$$

откуда

$$(6, 7) = (6, 8) = (7, 8) = a \in \{0, 1\}.$$

Таким образом мы получаем

	0	1	2	3	4	5	6	7	8
0	0	1	1	1	1	1	1	1	1
1	1	0				0			
2	1		0			0			
3	1			0		0			
4	1				0	0			
5	1	0	0	0	0	0	1	1	1
6	1					1	0	a	a
7	1					1	a	0	a
8	1					1	a	a	0

(2) Мы должны выбрать строку с чётным номером.

(i) Выберем строку с номером 2. Тогда будем иметь

$$(1, 2) = 0, (2, 3) = (2, 4) = 0, (2, 6) = (2, 7) = (2, 8) = 1,$$

тогда должно быть $\langle 1, 2 \rangle \equiv 0 \pmod{2}$. Имеем,

$$\begin{aligned} \langle 1, 2 \rangle &= 1 + (1, 3) + (1, 4) \\ &\quad + (1, 6) + (1, 7) + (1, 8) \equiv 0 \pmod{2}, \end{aligned}$$

что не даёт никаких противоречий. Таким образом, эту строку можно выбирать.

(ii) Выберем строку с номером 4. Получаем

$$(1, 4) = (2, 4) = (3, 4) = 0, (4, 6) = (4, 7) = (4, 8) = 1.$$

Значим должны выполняться равенства

$$\langle 1, 4 \rangle = \langle 2, 4 \rangle = \langle 3, 4 \rangle \equiv 0 \pmod{2},$$

непосредственной проверкой нетрудно убедиться что эти уравнения не дают никаких противоречий, т.е., строка с номером 4 может быть выбрана.

(iii) Аналогично легко проверяется что строка с номером 6 тоже может быть выбрана.

(iv) Выберем строку с номером 8. Получим

$$(1, 8) = (2, 8) = (3, 8) = (4, 8) = 0 = a = 0,$$

и тогда должно иметь место равенство $\langle 1, 8 \rangle \equiv 0 \pmod{2}$, но из таблицы видно что $\langle 1, 8 \rangle = 1$, что даёт противоречие, т.е., строка с номером 8 не может быть выбранной на этом шаге.

(3) Выберем строку с номером 2. Получаем матрицу

	0	1	2	3	4	5	6	7	8
0	0	1	1	1	1	1	1	1	1
1	1	0	0			0			
2	1	0	0	1	1	0	1	1	1
3	1		1	0		0			
4	1		1		0	0			
5	1	0	0	0	0	0	1	1	1
6	1		1			1	0	a	a
7	1		1			1	a	0	a
8	1		1			1	a	a	0

По лемме 6.2, получаем

$$\begin{cases} \langle 2, 3 \rangle = 1 + (3, 4) + (3, 6) + (3, 7) + (3, 8) \equiv 1 \pmod{2}, \\ \langle 2, 4 \rangle = 1 + (3, 4) + (4, 6) + (4, 7) + (4, 8) \equiv 1 \pmod{2}, \\ \langle 2, 6 \rangle = 1 + (3, 6) + (4, 6) + a + a \equiv 1 \pmod{2}, \\ \langle 2, 7 \rangle = 1 + (3, 7) + (4, 7) + a + a \equiv 1 \pmod{2}, \\ \langle 2, 8 \rangle = 1 + (3, 8) + (4, 8) + a + a \equiv 1 \pmod{2}, \end{cases}$$

и находим

$$\begin{aligned} (3, 6) &= (4, 6) = b \in \{0, 1\} \\ (3, 7) &= (4, 7) = c \in \{0, 1\} \\ (3, 8) &= (4, 8) = d \in \{0, 1\} \\ (3, 4) &= b + c + d \pmod{2}, \end{aligned}$$

далее, так как $\langle 3, 3 \rangle \equiv 0 \pmod{2}$ (первое условие Теоремы 3.3), то отсюда вытекает что $(1, 3) = 0$. Аналогично рассуждая, мы получаем что $(1, 4) = 0$. Наконец, для строк 6, 7, 8, используя равенства

$$\langle 6, 6 \rangle \equiv \langle 7, 7 \rangle \equiv \langle 8, 8 \rangle \equiv 0 \pmod{2}$$

мы находим $(1, 6) = (1, 7) = (1, 8) = 1$.

Таким образом, мы получаем следующую таблицу

	0	1	2	3	4	5	6	7	8
0	0	1	1	1	1	1	1	1	1
1	1	0	0	0	0	0	1	1	1
2	1	0	0	1	1	0	1	1	1
3	1	0	1	0		0	<i>b</i>	<i>c</i>	<i>d</i>
4	1	0	1		0	0	<i>b</i>	<i>c</i>	<i>d</i>
5	1	0	0	0	0	0	1	1	1
6	1	1	1	<i>b</i>	<i>b</i>	1	0	<i>a</i>	<i>a</i>
7	1	1	1	<i>c</i>	<i>c</i>	1	<i>a</i>	0	<i>a</i>
8	1	1	1	<i>d</i>	<i>d</i>	1	<i>a</i>	<i>a</i>	0

- (4) Мы должны выбрать строку с нечётным номером $\{1, 3, 7\}$. Видим, что клетка $(1, 4) = 0$, но при этом строка 4 не выбиралась, значит строка 1 не может быть выбранной, так как в пустых клетках после диагонали должны быть единицы.

Далее, строка 7 не может быть выбранной, потому что в противном случае, после заполнения этой строки мы получили бы $(6, 7) = 0$, $(7, 8) = 1$, но $(6, 7) = (7, 8) = a$, что и даёт противоречие.

С другой стороны выбор строки 3, как нетрудно проверить, никаких противоречий не даёт.

- (5) Выбираем строку 3, тогда мы получаем $b = c = d = 1$ и матрица примет вид

	0	1	2	3	4	5	6	7	8
0	0	1	1	1	1	1	1	1	1
1	1	0	0	0	0	0	1	1	1
2	1	0	0	1	1	0	1	1	1
3	1	0	1	0	1	0	1	1	1
4	1	0	1	1	0	0	1	1	1
5	1	0	0	0	0	0	1	1	1
6	1	1	1	1	1	1	0	<i>a</i>	<i>a</i>
7	1	1	1	1	1	1	<i>a</i>	0	<i>a</i>
8	1	1	1	1	1	1	<i>a</i>	<i>a</i>	0

Мы видим что автоматически D -заполнилась строка 4, а затем D -заполнилась строка 1.

Нетрудно видеть что выбор $a = 0$ или $a = 1$ влечёт выбор следующей строки с номером 8 или 6 соответственно. Таким образом мы получаем два меандра изображённых на рисунке 12.

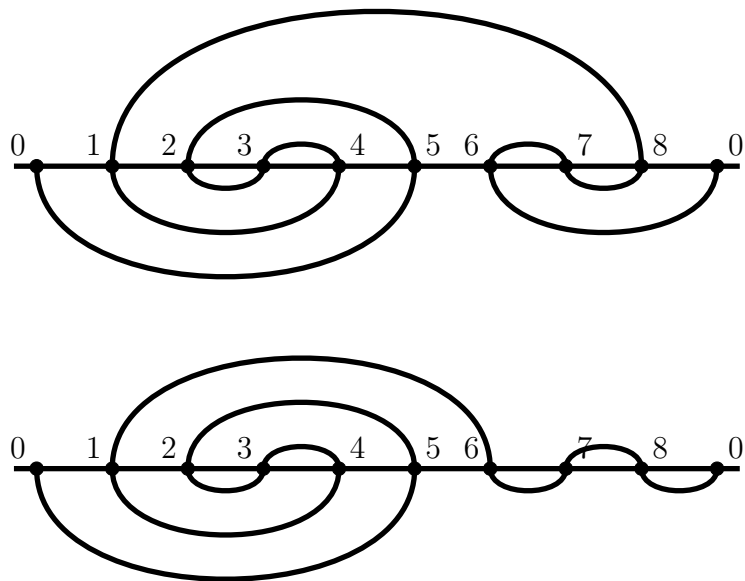


Рис. 12. Здесь изображены меандры которые соответствуют выбору $a = 0$ (верхний рисунок) и $a = 1$ (нижний рисунок).

СПИСОК ЛИТЕРАТУРЫ

- [1] C. Adams, *The Knot Book*, New York: Freeman & Co, 1994.
- [2] M. Dehn, Über Kombinatorische Topologie, *Acta Math*, **67** (1936), 123–168.
- [3] C.F. Gauss, *Werke*, Teubner, Leipzig, **VII** (1900), 272, 282–286.
- [4] M. Goussarov, M. Polyak and O. Viro, Finite type invariants of classical and virtual knots, *Topology*, **39** (2000), 1045–1068.
- [5] L. Lovasz and M.L. Marx, A forbidden subgraph characterization of Gauss code, *Bull. Amer. Math. Soc*, **82** (1976), 121–122.
- [6] M. Polyak and O. Viro, Gauss diagram formulas for Vassiliev invariants, *International Mathematics Research Notes*, **11** (1994), 445–453.
- [7] R.C. Read and P. Rosenstiehl, On the Gauss Crossing Problem, *Colloquia Mathematica Societatis Janos Bolyai*, 1976.
- [8] A. Sossinsky, A Classification of Generic Curves on Oriented Surfaces, *Russian Journal of Mathematical Physics*, **2**(2) (1994), 251–260.
- [9] A. Sossinsky, *Knots: Mathematics with a Twist*, Harvard University Press, 2002.
- [10] W. Thurston, Finite state algorithm for the braid group, *Circulated notes*, 1988.